

## OMÓWIENIE – ZESTAW 6., CZĘŚĆ 2.<sup>1</sup>

**Ad. 2. Symulowane wyżarzanie w zastosowaniu do problemu komiwojażera** (*algorytm udostępniony w osobnym pliku: “Algorytmy do projektu nr 6”*)

*Metoda symulowanego wyżarzania była omawiana również na kursie metod numerycznych.*

Drugie zadanie polega na rozwiązaniu **problemu komiwojażera** dla dwustu zadanych punktów na dwuwymiarowej płaszczyźnie. Współrzędne  $(x, y)$  punktów zostały zamieszczone na UPeL-u w pliku tekstowym `input.dat`. Wszystkich punktów w pliku jest  $n = 200$ .

W problemie komiwojażera celem jest znalezienie **cyklu Hamiltona o najmniejszej całkowitej wadze** (długości) w **grafie ważonym**. Graf jest **pełny**: między każdymi dwoma wierzchołkami istnieje krawędź (między każdymi dwoma punktami istnieje bezpośrednie połączenie; celem komiwojażera jest odwiedzenie jednokrotnie każdego punktu – np. miasta – i powrót do punktu początkowego). **Wagę cyklu** (u nas: długość) definiujemy jako sumę długości kolejnych krawędzi, składających się na cykl, natomiast długością krawędzi  $(u, v)$  jest **odległość euklidesowa** między punktami  $u$  i  $v$ . Problem jest nietrywialny, ponieważ liczba wszystkich możliwych cykli Hamiltona wynosi  $\frac{(n-1)!}{2}$ , więc jest znacząca już dla niewielkiej liczby wierzchołków<sup>2</sup>. Nie istnieje rozwiązanie w czasie wielomianowym, dlatego często stosuje się podejście **heurystyczne**, które w stosunkowo krótkim czasie daje pewne **przybliżenie rozwiązania**. Nie mamy jednak gwarancji, że znaleziony cykl faktycznie będzie najkrótszym możliwym cyklem.

Jednym z rozwiązań problemu komiwojażera jest algorytm **symulowanego wyżarzania**, należący do rodziny metod **Monte Carlo**. Zanim do niego przejdziemy w podpunkcie (c), prześledzimy prostszą wersję algorytmu typu Monte Carlo (a), którą będziemy stopniowo rozbudowywać, rozważając pośredni algorytm: **Metropolisa–Hastingsa** (b).

Poniższe algorytmy zostaną podane w wersji rozwiązującej zagadnienie minimalizacji jednowymiarowej funkcji  $f(x)$  – celem jest znalezienie **minimum funkcji**. Późniejsze uogólnienie problemu minimalizacji funkcji na zagadnienie komiwojażera okaże się naturalne.

---

### (a) Metoda Monte Carlo

Metody Monte Carlo pozwalają na modelowanie – poprzez **losowania** – procesów zbyt złożonych do rozwiązania analitycznego. Pomimo, że wejściowy problem jest deterministyczny, będziemy rozwiązywać go w sposób **probabilistyczny**.

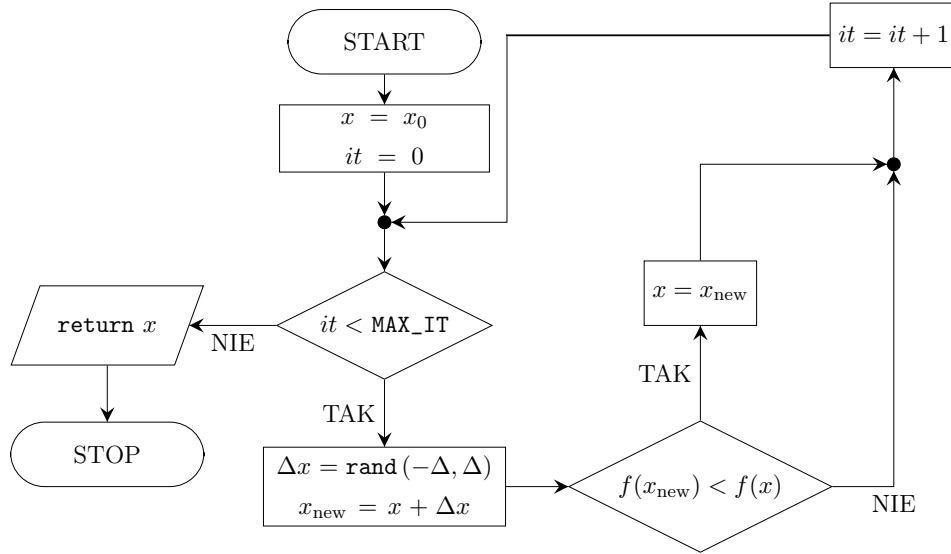
Algorytm rozpoczniemy od zadanej startowej współrzędnej  $x_0$ . Jednym z najprostszych podejść typu Monte Carlo do zagadnienia minimalizacji funkcji  $f(x)$  jest wielokrotne **losowanie niewielkiego kroku**  $\Delta x$ , o który przesuwamy aktualne przybliżenie  $x$ . Jeśli wartość funkcji w nowym punkcie jest mniejsza niż wartość funkcji w poprzednim, to akceptujemy

---

<sup>1</sup>W razie jakichkolwiek uwag do niniejszego dokumentu (choćby literówek) proszę o kontakt: [Elzbieta.Strzalka@fis.agh.edu.pl](mailto:Elzbieta.Strzalka@fis.agh.edu.pl)

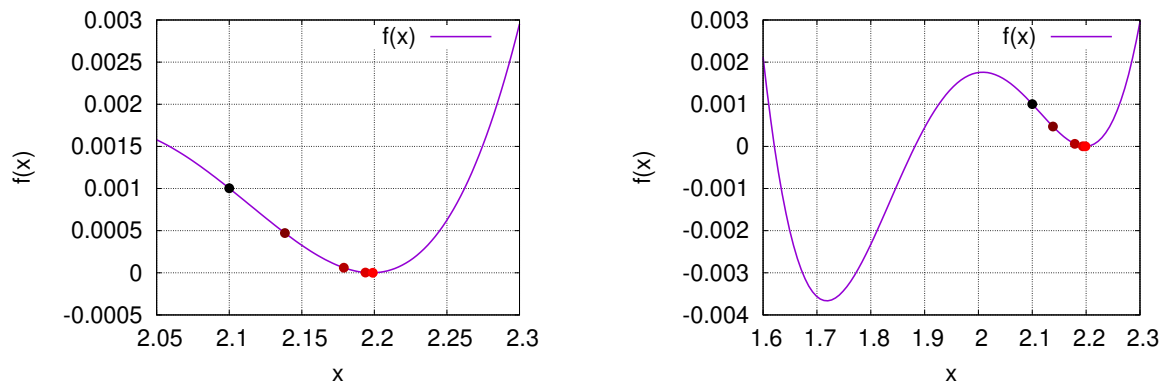
<sup>2</sup>W naszym pliku wejściowym znajduje się  $n = 200$  punktów, co daje liczbę możliwych cykli o 374 cyfrach.

nowy punkt jako nowe przybliżenie minimum funkcji. Algorytm przerywamy np. po ustalonej maksymalnej liczbie iteracji. Przybliżenie z ostatniej iteracji zostaje uznane za znalezione minimum funkcji. Algorytm przedstawiono na schemacie z rys. 1.



Rysunek 1: Schemat algorytmu **Monte Carlo** – wyszukiwanie minimum funkcji  $f(x)$ .  $x_0$  jest punktem początkowym;  $\text{MAX\_IT}$  to maksymalna liczba iteracji;  $\Delta$  – wartość definiująca przedział  $[-\Delta, \Delta]$ ; z którego losowane jest aktualne przesunięcie  $\Delta x$ .

Przykład działania algorytmu zilustrowano na rys. 2. Algorytm ma istotną wadę: najczęściej pozwala na znalezienie tylko **minimum lokalnego**, a nie **globalnego**. Punkt o wyższej wartości funkcji nigdy nie zostanie wybrany jako nowe przybliżenie rozwiązania, więc algorytm nie jest w stanie wydostać się z okolic minimum lokalnego.



(a) Przedział wykresu zawężony do  $x \in [2.05, 2.3]$ . Algorytm pozwolił na znalezienie przybliżonego minimum w okolicy współrzędnej  $x = 2.2$ .

(b) Wykres z rys. (a) rozszerzony do przedziału  $x \in [1.6, 2.3]$ : znalezione rozwiązanie okazuje się być tylko **minimum lokalnym**.

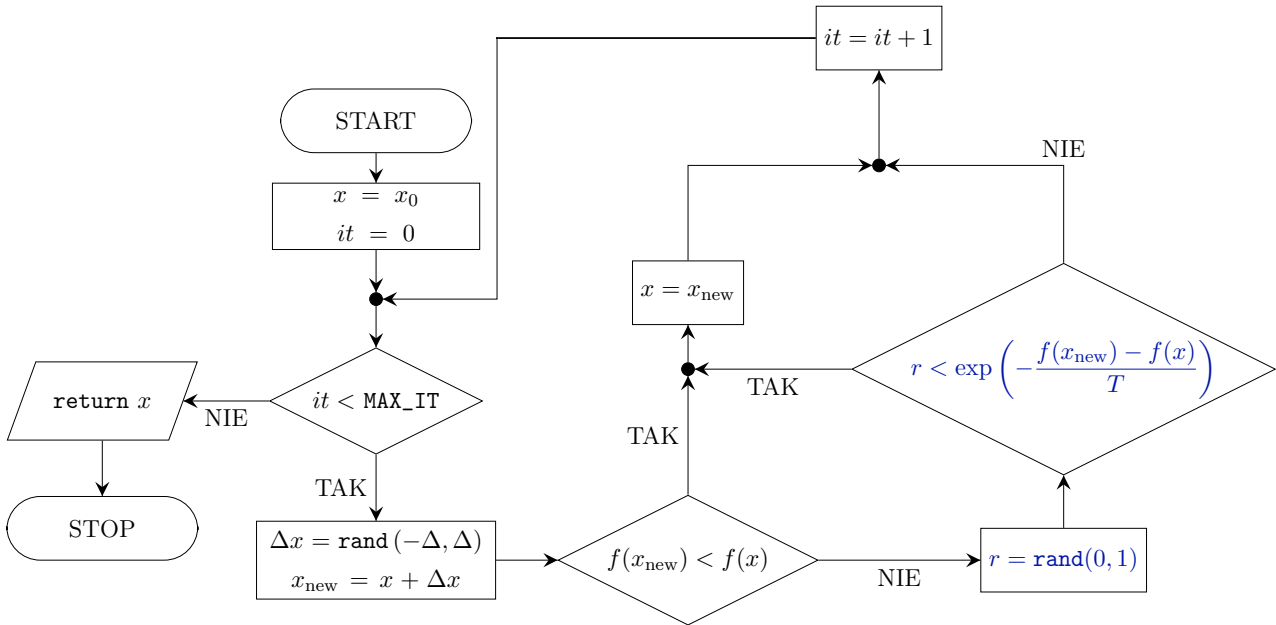
Rysunek 2: Ilustracja działania kilku iteracji algorytmu **Monte Carlo** ze schematu z rys. 1 dla przykładowej funkcji  $f(x)$ ; punkt startowy  $x_0 = 2.1$ . Kolejne zaakceptowane przybliżenia rozwiązania są zaznaczone punktami. Kolory punktów zmieniają się wraz z iteracjami: od czarnego dla pierwszej iteracji do czerwonego dla ostatniej.

### (b) Algorytm Metropolis–Hastingsa

Problem braku możliwości wyjścia z okolic minimum lokalnego rozwiązuje się poprzez modyfikację algorytmu w przypadku, gdy nie jest spełniona nierówność  $f(x_{\text{new}}) < f(x)$ . Co prawda  $x_{\text{new}}$  wydaje się być **gorszym przybliżeniem**, ale **akceptujemy je z pewnym niezerowym prawdopodobieństwem**. Taki zabieg może pozwolić na wydostanie się z okolic minimum lokalnego i w konsekwencji znalezienie minimum globalnego. W **algorytmie Metropolis–Hastingsa** prawdopodobieństwo akceptacji gorszego wyniku jest dane **rozkładem Boltzmanna**, który w naszym zastosowaniu przybiera postać:

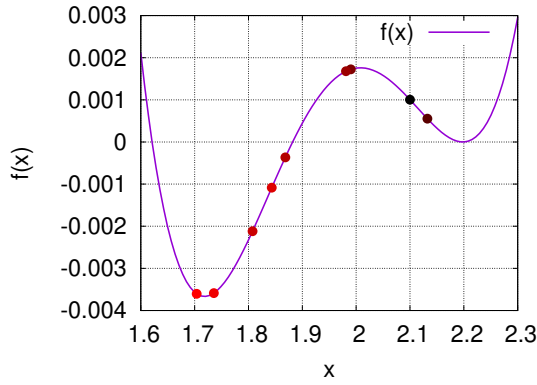
$$\exp\left(-\frac{f(x_{\text{new}}) - f(x)}{T}\right). \quad (1)$$

Stały parametr  $T$  jest nazywany **temperaturą** przez nawiązanie do układu, który fluktuuje termicznie. Schemat algorytmu Metropolis–Hastingsa zamieszczono na rys. 3.

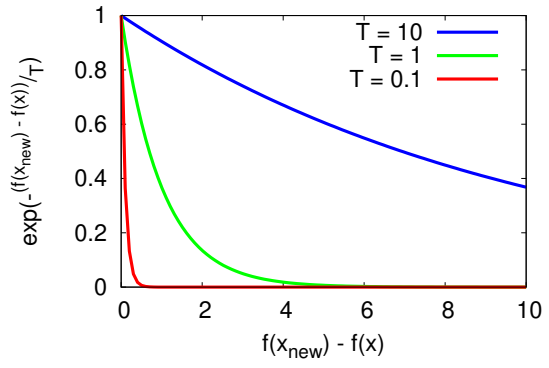


Rysunek 3: Schemat algorytmu **Metropolis–Hastingsa** – wyszukiwanie minimum funkcji  $f(x)$ .  $x_0$  jest punktem początkowym,  $T$  – zadaną temperaturą;  $\text{MAX\_IT}$  to maksymalna liczba iteracji;  $\Delta$  – wartość definiująca przedział  $[-\Delta, \Delta]$ ; z którego losowane jest aktualne przesunięcie  $\Delta x$ . Wartość  $r$  jest losowana z przedziału  $[0, 1]$ .

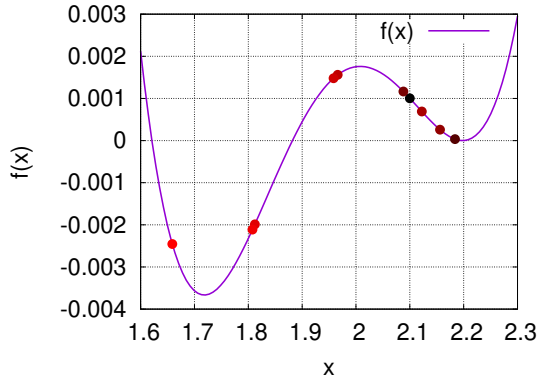
Niezerowa **temperatura** może pozwolić na znalezienie minimum globalnego (jak na rys. 4(a)). Jednak przebieg rozkładu Boltzmanna (zaprezentowany na rys. 4(b)) powoduje, że im większa wejściowa temperatura, tym większe prawdopodobieństwo akceptacji "gorszego" przybliżenia, a co za tym idzie – również wyskoczenia poza okolice minimum globalnego. Z kolei zbyt niska temperatura może nie być wystarczająca, żeby wydostać się z okolic minimum lokalnego. Z tego powodu odpowiedni dobór temperatury jest kluczowy w algorytmie Metropolis–Hastingsa.



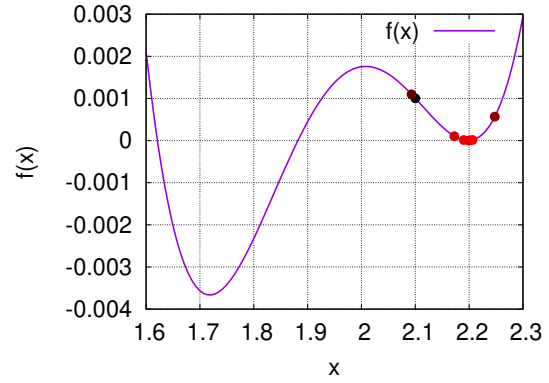
(a) Przypadek 1.: Algorytm zakończył działanie w pobliżu **minimum globalnego**.



(b) **Rozkład Boltzmann** w funkcji różnicy  $f(x_{\text{new}}) - f(x)$ .



(c) Przypadek 2.: wejściowy parametr  $T$  został ustawiony **zbyt duży**, kolejne przybliżenia „przeskakują” minimum globalne.



(d) Przypadek 3.: parametr  $T$  został ustawiony **zbyt mały**, kolejne przybliżenia nie są w stanie wydostać się z okolic minimum lokalnego.

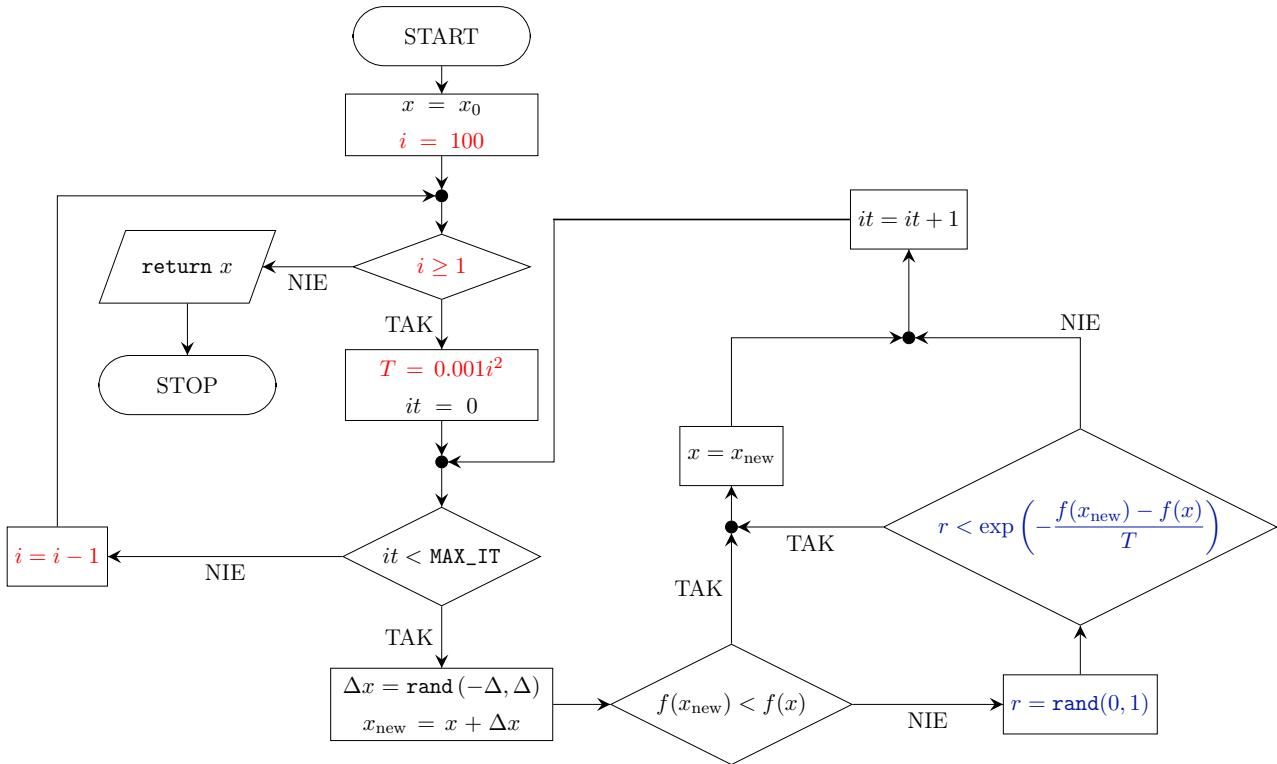
Rysunek 4: (a), (c), (d): Ilustracja działania kilku iteracji algorytmu **Metropolisa–Hastingsa** według schematu z rys. 3. dla przykładowej funkcji  $f(x)$ ; punkt startowy  $x_0 = 2.1$ . Kolejne zaakceptowane przybliżenia rozwiązania są zaznaczone punktami. Kolory punktów zmieniają się wraz z iteracjami: od czarnego dla pierwszej iteracji do czerwonego dla ostatniej. Wykres (b) prezentuje rozkład Boltzmana dla trzech różnych wartości bezwymiarowej temperatury  $T$ . *Uwaga: przedstawione wykresy jedynie ilustrują problemy w działaniu algorytmu, pomijając wpływ przedziału  $[-\Delta, \Delta]$ . W praktycznym zastosowaniu przedział należy dostosować do rozwiązywanego problemu*

### (c) Symulowane wyżarzanie

Problem wyboru odpowiedniej temperatury zostaje rozwiązany w algorytmie **symulowanego wyżarzania**, który jest modyfikacją schematu Metropolisa–Hastingsa o **automatyczny dobór temperatury** poprzez jej stopniowe obniżanie. Dotychczasowe kroki algorytmu zostają objęte dodatkową zewnętrzną pętlą, w której zmienia się temperatura (następuje **schładzanie**). Po zmianie temperatury kolejne iteracje zaczynamy od najlepszego uzyskanego do tej pory przybliżenia.

Schemat z rys. 5. obniża temperaturę zgodnie z przykładową funkcją kwadratową o zadanych

parametrach, jednak sposoby schładzania mogą być różne. Przepis na schładzanie wraz z jego parametrami powinien być wybrany i dostosowany do rozwiązywanego problemu.



Rysunek 5: Schemat **symulowanego wyżarzania** – wyszukiwanie minimum funkcji  $f(x)$ .  $x_0$  jest punktem początkowym;  $\text{MAX\_IT}$  to maksymalna liczba iteracji wykonywanych dla aktualnej temperatury  $T$ ;  $\Delta$  – wartość definiująca przedział  $[-\Delta, \Delta]$ ; z którego losowane jest aktualne przesunięcie  $\Delta x$ . Wartość  $r$  jest losowana z przedziału  $[0, 1]$ .

Dzięki automatycznemu obniżaniu temperatury algorytm symulowanego wyżarzania w początkowych, wysokich temperaturach jest w stanie wydostać się z okolic minimów lokalnych, natomiast iteracje wykonywane w niższych temperaturach mają na celu ostateczne udokładnienie przybliżenia przy założeniu, że znajdujemy się już w okolicach minimum globalnego (nie ma jednak gwarancji, że faktycznie tak jest). Często w celu uzyskania najlepszego wyniku algorytm wykonuje się dla **wielu wędrowców jednocześnie**<sup>3</sup>. Idea symulowanego wyżarzania została zaczerpnięta z metalurgicznego procesu usuwania defektów z kryształu podczas jego schładzania.

---

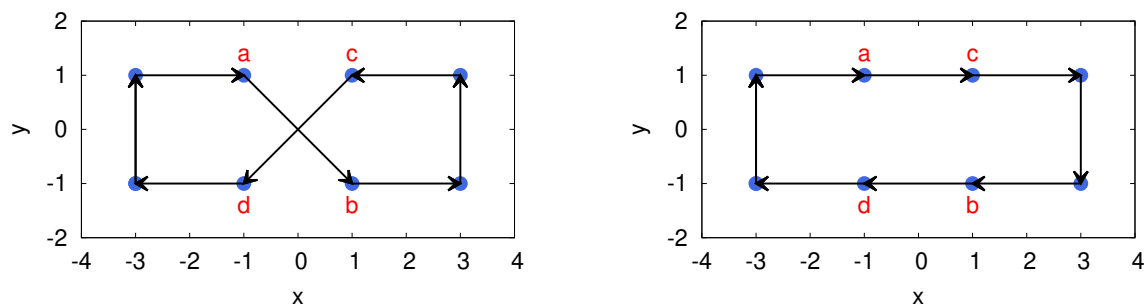
Przedstawiony **algorytm symulowanego wyżarzania** w zastosowaniu do **problemu komiwojażera** wymaga już niewielu modyfikacji. Celem również jest minimalizacja funkcji: jest nią **funkcja wyznaczająca długość cyklu**. Funkcja ta jest zależna od kolejności  $n$  wierzchołków w cyklu; z każdym  $i$ -tym wierzchołkiem są związane dwie współrzędne:  $x_i$  oraz  $y_i$ . Zadane współrzędne wierzchołków znajdują się w pliku `input.dat` na platformie UPeL.

---

<sup>3</sup>Współrzedną aktualnego przybliżenia minimum funkcji w literaturze często nazywa się położeniem wędrowca. Zaprezentowane w dokumencie schematy zakładają istnienie jednego wędrowca.

Algorytm zaczynamy od **dowolnego początkowego cyklu**  $P$ . W każdej iteracji nowy cykl  $P_{\text{new}}$  wyznaczamy poprzez **operację optymalizacyjną 2-opt**, którą zilustrowano na rys. 6.: zamieniamy losowe dwie krawędzie  $(a, b)$  oraz  $(c, d)$  na krawędzie  $(a, c)$  oraz  $(b, d)$ . Należy przy tym uważać, żeby nie wylosować krawędzi, które mają wspólny wierzchołek incydentny: mogłoby to doprowadzić do rozspójnienia cyklu.

Następnie zgodnie z algorytmem symulowanego wyżarzania akceptujemy nowy cykl, jeśli jego długość jest mniejsza od długości poprzedniego cyklu. W przeciwnym wypadku akceptujemy go z prawdopodobieństwem zadanym przez rozkład Boltzmana dla aktualnej temperatury.



(a) Cykl z wylosowanymi krawędziami  $(a, b)$ ,  $(c, d)$ . (b) Cykl po zamianie krawędzi na  $(a, c)$ ,  $(b, d)$ .

Rysunek 6: Ilustracja działania operacji **2-opt**: dla cyklu z rys. (a) wylosowano krawędzie  $(a, b)$  oraz  $(c, d)$ . Nowy cykl wygenerowano przez zamianę tych krawędzi na  $(a, c)$  oraz  $(b, d)$ , jak na rys. (b).